

# 房子图 $H_{m,n,3}$ 的优美性和强协调性\*

## The Gracefulness and Strong Harmoniousness of Home Graphs

孙宗剑<sup>1</sup>, 罗海鹏<sup>2</sup>, 黎贞崇<sup>2</sup>, 何建东<sup>2</sup>

SUN Zong-jian<sup>1</sup>, LUO Hai-peng<sup>2</sup>, LI Zhen-chong<sup>2</sup>, HE Jian-dong<sup>2</sup>

(1. 广西师范学院数学与计算机科学系, 广西南宁 530001; 2. 广西科学院, 广西南宁 530007)

(1. Department of Mathematics and Computer Science, Guangxi Teachers Education University, Nanning, Guangxi, 530001, China; 2. Guangxi Academy of Sciences, Nanning, Guangxi, 530007, China)

**摘要:** 定义一类新的图形——房子图  $H_{m,n,3}$ , 设计一个算法并通过计算机给出房子图的优美标号和强协调标号, 从而证明其不但是优美的而且是强协调的.

**关键词:** 房子图 标号 优美性 强协调性

**中图法分类号:** O157.5; TP312 **文献标识码:** A **文章编号:** 1005-9164(2007)04-0339-03

**Abstract:** A class new graphs-home graphs  $H_{m,n,3}$  are defined. An algorithm is designed. The  $H_{m,n,3}$ 's graceful labeling and strongly harmonious labeling are given by computer. So that  $H_{m,n,3}$  is not only graceful but also strongly harmonious.

**Key words:** home graphs, labeling, gracefulness, strong harmoniousness

20 世纪 60 年代提出的图的标号问题<sup>[1]</sup>正逐渐发展成为组合数学中的一个热门课题. 至目前为止; 在学术界已经定义了几十种优美图和强协调图<sup>[1,2]</sup>, 这些标号图作为数学模型在物流运输、编码理论、 $x$ -射线密码技术、雷达、天文学、电路设计、因特网地址通讯和数据基础管理<sup>[3]</sup>等方面有广泛应用. 20 世纪 70 年代后, 随着计算机科学的发展, 在寻求某些图<sup>[4,5]</sup>的优美标号和强协调标号方面有了进一步的突破. 本文设计算法找到了房子图的优美标号和强协调标号, 并给出了其优美性和强协调性的证明.

### 1 主要定义

**定义 1**<sup>[1]</sup> 对于图  $G(V, E)$  来说, 若存在单射  $f: V(G) \rightarrow \{0, 1, 2, \dots, |E(G)|\}$  使得映射  $f^*(xy) = |f(x) - f(y)|$  是从  $E(G)$  到  $\{1, 2, \dots, |E(G)|\}$  的双射, 则称  $f$  为  $G$  的顶点的优美标号, 这时称  $G$  为优美的.

**定义 2**<sup>[6]</sup> 对于图  $G(V, E)$  来说, 若存在单射  $f:$

$V(G) \rightarrow \{0, 1, 2, \dots, |E(G)| - 1\}$  使得映射  $f^*(xy) = f(x) + f(y)$  是从  $E(G)$  到  $\{1, 2, \dots, |E(G)|\}$  的双射, 则称  $f$  为  $G$  的顶点的强协调标号, 这时称  $G$  为强协调的.

**定义 3** 如图 1 所示的图形中有  $V(H_{m,n,3}) = \{x_1, x_2, x_3, v_1, v_2, \dots, v_n, u_1, u_2, \dots, u_m\}, x_i v_j \in E(H_{m,n,3}), i = 1, 2, 3, j = 1, 2, \dots, n, x_1 u_j \in E(H_{m,n,3}), j = 1, 2, \dots, m, x_1 x_j \in E(H_{m,n,3}), j = 2, 3, x_2 x_3 \in E(H_{m,n,3}), v_i u_j \in E(H_{m,n,3}), i = 1, 2, \dots, n, j = 1, 2, \dots, m, |V(H_{m,n,3})| = m + n + 3, |E(H_{m,n,3})| = mn + m + 3n + 3$ , 把满足上述条件的图形称为房子图, 记为  $H_{m,n,3}$ .

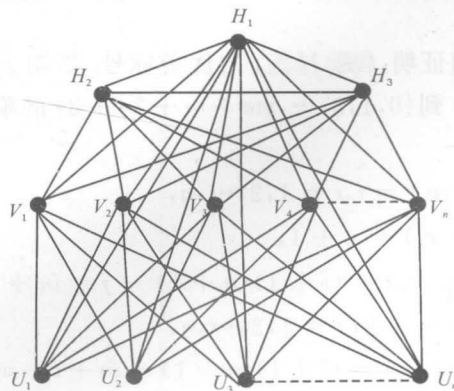


图 1 房子图  
Fig. 1 home graph

收稿日期: 2006-11-10

作者简介: 孙宗剑(1980-), 男, 硕士研究生, 主要从事组合数学研究.

\* 国家自然科学基金项目(批准号: 60563008), 广西自然科学基金项目(桂科自 0728051)资助.

## 2 算法

对于房子图  $H_{m,n,3}$ , 设计一个算法, 对较小的  $m, n$  用遍历算法<sup>[7]</sup> 探索一些特殊房子图的优美标号或强协调标号方法并寻找规律. 算法如下:

步骤 1: 输入  $m, n$ ;

步骤 2: 在  $0, 1, \dots, mn + m + 3n + 3$  或  $0, 1, \dots, mn + m + 3n + 2$  中选  $m + n + 3$  个数  $a_1, a_2, \dots, a_{m+n+3}$ ;

步骤 3: 给出顶点  $v_i$  到  $a_i, i = 1, 2, \dots, m + n + 3$  的一个对应;

步骤 4: 计算图中所有边的值,

如果某一条边的值和前面计算的边的值重复了,

如果  $v_i$  到  $a_i$  还有其他对应, 转步骤 3,

否则, 如果  $mn + m + 3n + 4$  或  $mn + m + 3n + 3$  个数中选  $m + n + 3$  个数还有其他方案, 转步骤 2,

否则, 结束;

步骤 5: 找到了一个优美标号或强协调标号方法, 输出所有顶点的标号值, 转步骤 3 到  $v_i$  到  $a_i$  的下一个对应, 寻找下一个优美标号或强协调标号方法.

通过算法, 我们用计算机计算获得了当  $m, n$  较小时的一些特殊房子图  $H_{m,n,3}$  的优美标号和强协调标号方法, 分析这些标号方法进一步获得一般的房子图  $H_{m,n,3}$  的优美标号和强协调标号方法.

## 3 主要定理

**定理 1** 房子图  $H_{m,n,3}$  都是优美的.

**证明** 只需给出房子图  $H_{m,n,3}$  的优美标号即可. 给出图 1 中各个顶点的标号  $f$  如下:

$f(x_1) = 0; f(x_{i+1}) = (i+1)(n+1), i = 1, 2;$   
 $f(v_i) = i, i = 1, 2, \dots, n; f(u_i) = (i+3)(n+1), i = 1, 2, \dots, m.$  边的标号  $f^*$  定义为  $f^*(xy) = |f(x) - f(y)|$ .

下面证明  $f$  是  $H_{m,n,3}$  的优美标号. 易知  $f$  是从  $V(H_{m,n,3})$  到  $\{0, 1, 2, \dots, mn + m + 3n + 3\}$  的单射并且

$$f^*(x_1v_i) = i, i = 1, 2, \dots, n, \quad (1)$$

$$f^*(x_2x_3) = n + 1, \quad (2)$$

$$f^*(x_{i+1}v_j) = (i+1)(n+1) - j = in + i + n - j + 1, i = 1, 2; j = 1, 2, \dots, n, \quad (3)$$

$$f^*(x_1x_{i+1}) = (i+1)(n+1) = in + i + n + 1, i = 1, 2, \quad (4)$$

$$f^*(u_i v_j) = (i+3)(n+1) - j = in + i + 3n -$$

$$j + 3, i = 1, 2, \dots, m, j = 1, 2, \dots, n, \quad (5)$$

$$f^*(x_1u_i) = (i+3)(n+1) = in + i + 3n + 1, i = 1, 2, \dots, m. \quad (6)$$

由(1)式可知相应边的标号取遍  $\{1, 2, \dots, n\}$  中的数, 由(2)式可知相应边的标号取  $n + 1$ , 由(3)式可知相应边的标号取遍  $\{n + 1, n + 2, \dots, 2n + 1, 2n + 3, 2n + 4, \dots, 3n + 2\}$  中的数, 由(4)式可知相应边的标号分别取  $2n + 2$  和  $3n + 3$ , 由(5)式可知相应边的标号取遍  $\{(i+2)n + i + 3, (i+2)n + i + 4, \dots, (i+3)n + i + 2 | i = 1, 2, \dots, m\}$  中的数, 由(6)式可知相应边的标号取遍  $\{(i+3)n + i + 3 | i = 1, 2, \dots, m\}$  中的数. 于是边标号  $f^*$  是从  $E(H_{m,n,3})$  到集合  $\{1, 2, \dots, mn + m + 3n + 3\}$  的双射, 从而  $f$  是  $H_{m,n,3}$  的顶点的一个优美标号. 所以房子图  $H_{m,n,3}$  是优美的.

**定理 2** 房子图  $H_{m,n,3}$  都是强协调的.

**证明** 只需给出房子图  $H_{m,n,3}$  的强协调标号即可. 给出图 1 中各个顶点的标号  $f$  如下:

$f(x_1) = n + 1; f(x_2) = 0; f(x_3) = 2n + 2; f(v_i) = i, i = 1, 2, \dots, n; f(u_i) = (i+2)(n+1) = in + 2n + i + 2, i = 1, 2, \dots, m.$  边的标号  $f^*$  定义为  $f^*(xy) = f(x) + f(y)$ .

下面证明  $f$  是  $H_{m,n,3}$  的强协调标号. 易知  $f$  是从  $V(H_{m,n,3})$  到  $\{0, 1, 2, \dots, mn + m + 3n + 2\}$  的单射并且

$$f^*(x_2v_i) = i, i = 1, 2, \dots, n, \quad (7)$$

$$f^*(x_1x_{i+1}) = i(n+1) = in + i, i = 1, 2, \quad (8)$$

$$f^*(x_1v_i) = n + i + 1, i = 1, 2, \dots, n, \quad (9)$$

$$f^*(x_3v_i) = 2n + i + 2, i = 1, 2, \dots, n, \quad (10)$$

$$f^*(x_1x_3) = 3n + 3, \quad (11)$$

$$f^*(u_i v_j) = (i+2)(n+1) + j = in + 2n + i + j + 2, i = 1, 2, \dots, m, j = 1, 2, \dots, n, \quad (12)$$

$$f^*(x_1u_i) = (i+3)(n+1) = in + 3n + i + 3, i = 1, 2, \dots, m. \quad (13)$$

由(7)式可知相应边的标号取遍  $\{1, 2, \dots, n\}$  中的数, 由(8)式可知相应边的标号分别取  $n + 1$  和  $2n + 2$ , 由(9)式可知相应边的标号取遍  $\{n + 2, n + 3, \dots, 2n + 1\}$  中的数, 由(10)式可知相应边的标号取  $\{2n + 3, 2n + 4, \dots, 3n + 2\}$  中的数, 由(11)式可知相应边的标号取  $3n + 3$ , 由(12)式可知相应边的标号取遍  $\{(i+2)n + i + 3, (i+2)n + i + 4, \dots, (i+3)n + i + 2 | i = 1, 2, \dots, m\}$  中的数, 由(13)式可知相应边的标号取遍  $\{(i+3)n + i + 3 | i = 1, 2, \dots, m\}$  中的数. 于是边标号  $f^*$  是从  $E(H_{m,n,3})$  到集合  $\{1, 2, \dots, mn + m + 3n + 3\}$  的双射, 从而  $f$  是  $H_{m,n,3}$  的顶点

的一个强协调标号. 所以房子图  $H_{m,n,3}$  是强协调的.

由定理 1、定理 2 可得如下推论 1、推论 2.

**推论 1**<sup>[8]</sup> 塔图都是优美的.

**证明** 当  $m = 1$  时的房子图  $H_{1,n,3}$  变成了塔图  $T_{n+4}$  (如图 2 所示), 因此由定理 1 知塔图也是优美的.

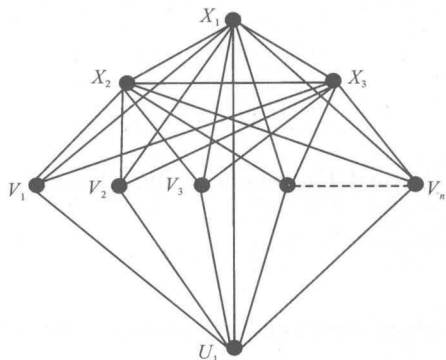


图 2 塔图

Fig. 2 Tower graph

**推论 2**<sup>[9]</sup> 塔图都是强协调的.

**证明** 当  $m = 1$  时的房子图  $H_{1,n,3}$  变成了塔图  $T_{n+4}$ , 因此由定理 2 知塔图也是强协调的.

参考文献:

[1] JOSEPH A GALLIAN. A dynamic survey of graph

labeling [J]. The Electronic Journal of Combinatorics, 2005, #DS6(5):1-148.

[2] 梁志和. 关于图标号问题[J]. 河北师范大学学报:自然科学版, 2000, 24(3):300-303.  
 [3] 邦迪 J A, 默蒂 U S R. 图论及其应用[M]. 吴望名, 李念祖, 吴兰芳, 等译. 北京: 科学出版社, 1984.  
 [4] 王卫军, 严谦泰. 关于图  $D_{m,4}$  的奇优美性和奇强协调性[J]. 南阳师范学院学报:自然科学版, 2003, 2(9):1-2.  
 [5] 哈拉里 F. 图论[M]. 李慰萱, 译. 上海: 上海科学技术出版社, 1980.  
 [6] 徐士达.  $S_m + K_1$  及其相关图的协调性[J]. 上饶师专学报, 1993(5):1-3.  
 [7] 朱洪, 陈增武, 段振华, 等. 算法设计和分析[M]. 上海: 上海科学技术文献出版社, 1989.  
 [8] 徐云, 苏文龙, 罗海鹏, 等. 塔图的优美性[J]. 广西科学院学报, 2007, 23(3):133-134.  
 [9] 孙宗剑, 罗海鹏. 塔图  $T_n$  的强协调性[J]. 桂林工学院学报, 2006, 26(4):589-590.

(责任编辑: 尹 闯)

(上接第 338 页 Continue from page 338)

[7] LUO HAIPENG, SU WENLONG, YUN-QIU SHEN. New lower bounds of ten classical Ramsey Numbers[J]. Australasian Journal of Combinatorics, 2001(24):81-90.  
 [8] LUO HAIPENG, SU WENLONG, LI ZHENCHONG. The properties of self-complementary graphs and new lower bounds for diagonal Ramsey numbers [J]. Australasian Journal of Combinatorics, 2002 (25): 103-116.  
 [9] SU WENLONG, LI QIAO, LUO HAIPENG, et al. Lower bounds of Ramsey numbers based on cubic residues

[J]. Discrete Mathematics, 2002(250):197-209.

[10] LI GUIQING, SU WENLONG, LUO HAIPENG. Edge colorings of the complete graph  $K_{149}$  and the lower bounds of three Ramsey numbers[J]. Discrete Applied Mathematics, 2003(126):167-179.  
 [11] LUO HAIPENG, SU WENLONG, YUN-QIU SHEN. New lower bounds for two multicolor classical Ramsey numbers[J]. Radovi Matematicki, 2004(13):15-21.

(责任编辑: 尹 闯)